

Rubroboletus pulchrotinctus

(Alessio) Kuan Zhao & Zhu L. Yang, *Phytotaxa* 188(2): 70 (2014)



Boletaceae, Boletales, Agaricomycetidae, Agaricomycetes, Agaricomycotina, Basidiomycota, Fungi

Sinónimos homotípicos:

Boletus pulchrotinctus Alessio, *Boletus* Dill. ex L. (Saronno): 231 (1985)
Suillellus pulchrotinctus (Alessio) Blanco-Dios, *Index Fungorum* 211: 1 (2015)

Material estudiado:

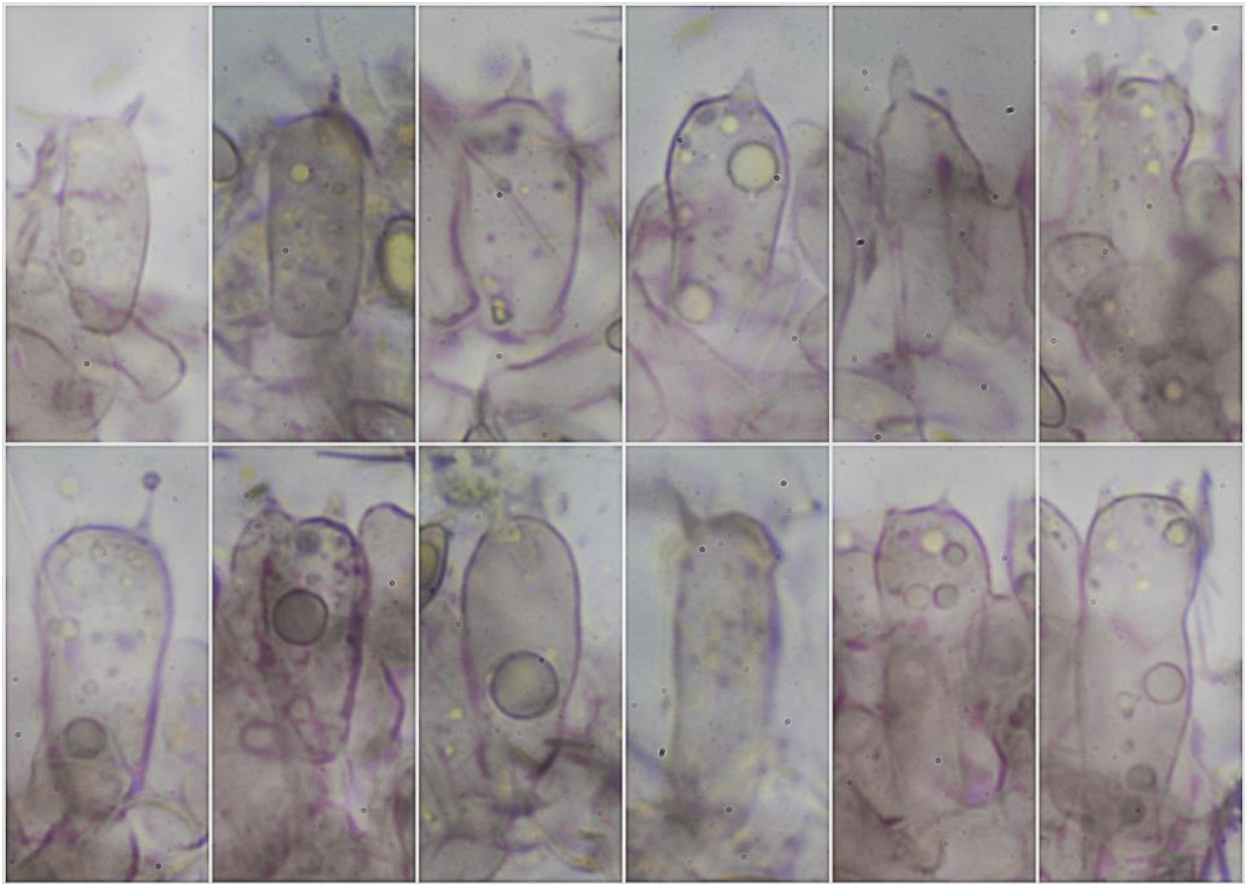
ESPAÑA, Andalucía, Jaén, La Iruela, Urbanización El Chaparral, 30SWH0803, 741 m, bajo *Quercus faginea* y cerca de *Pinus nigra*, 18-VI-2023, leg. Concha Morente, Dianora Estrada, Tomás Illescas y Demetrio Merino, JA-9646.

Descripción macroscópica:

Pileo de 106 mm de diám., de hemisférico a convexo, margen entero, excedente. **Cutícula** mate, lisa, de color pardo grisáceo con tonos rosados hacia el margen. **Tubos** adnados, largos, de color amarillo que vira a verde con la edad y a azul verdoso al corte o manipulación. **Poros** pequeños, circulares, de color amarillo a rojizo, que cambian de color igual que los tubos. **Estípite** de 77 x 29 mm, cilíndrico, bulboso y radicante en la base, de color amarillo con tonos rojo rosados, con retículo fino y concolor en, al menos, los dos tercios superiores. **Contexto** de color crema amarillento, rosado bajo la cutícula, olor inapreciable.

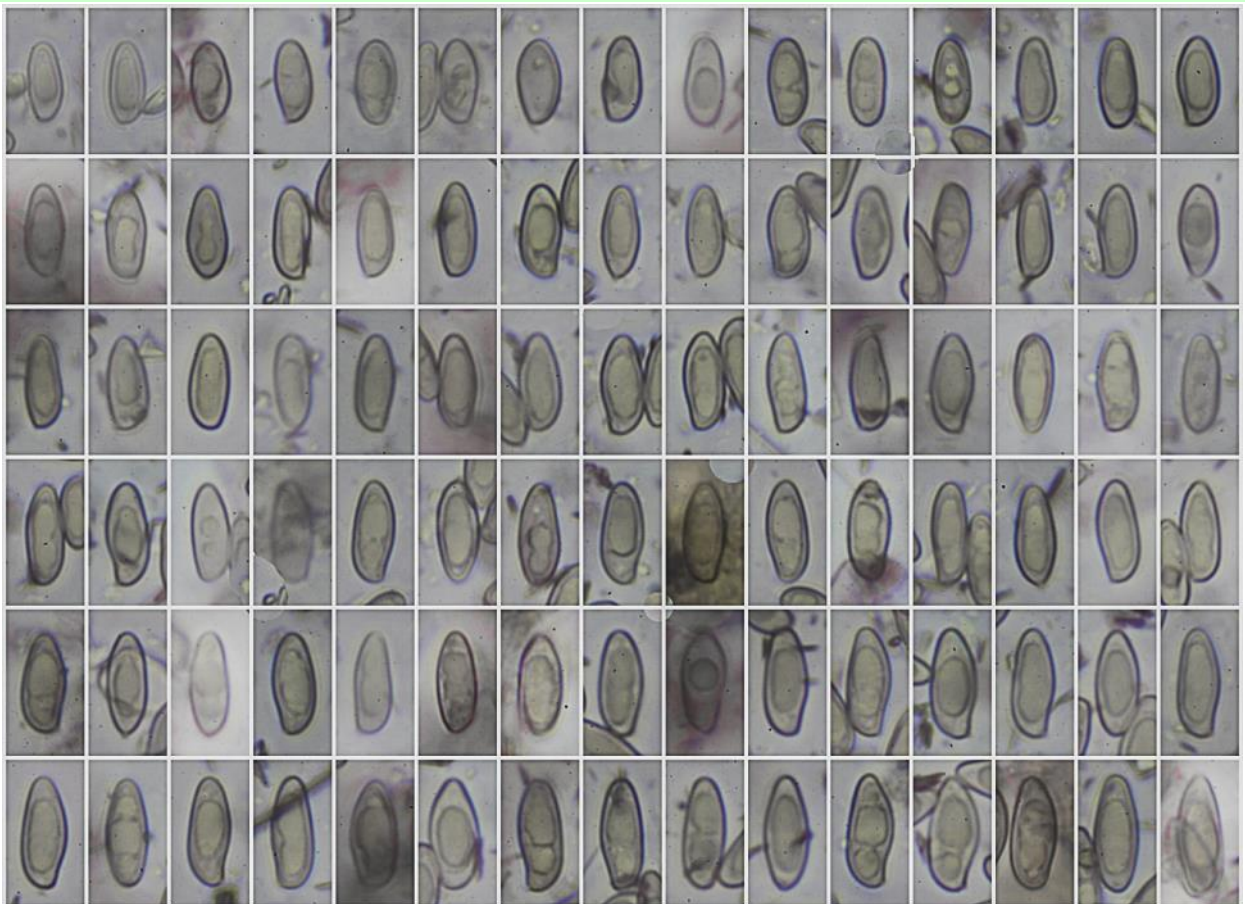
Descripción microscópica:

Basidios cilíndricos, claviformes, fusiformes, tetráspóricos, sin fíbula basal, de (14,9-)18,1-28,5(-29,7) × (6,8-)7,9-11,0(-11,6) µm; N = 25; Me = 23,1 × 9,5 µm. **Basidiosporas** cilíndricas, fusiformes, lisas, hialinas, apiculadas, gutuladas, de (9,4-)10,4-13,0(-14,0) × (4,0-)4,4-5,4(-6,2) µm; Q = (1,9-)2,1-2,6(-2,8); N = 115; V = (80-)111-193(-270) µm³; Me = 11,7 × 4,9 µm; Qe = 2,4; Ve = 149 µm³. **Cistidios himeniales** fusiformes, lageniformes, algunos mucronados, de (17,6-)21,9-49,2(-58,9) × (7,2-)7,8-14,8(-17,3) µm; N = 48; Me = 35,0 × 10,9 µm. **Pileipellis** filamentosos, con hifas intrincadas y presencia de pileocistidios. **Estipitipellis** de hifas paralelas, con presencia de caulocistidios. **Fíbulas** ausentes en todas las estructuras.



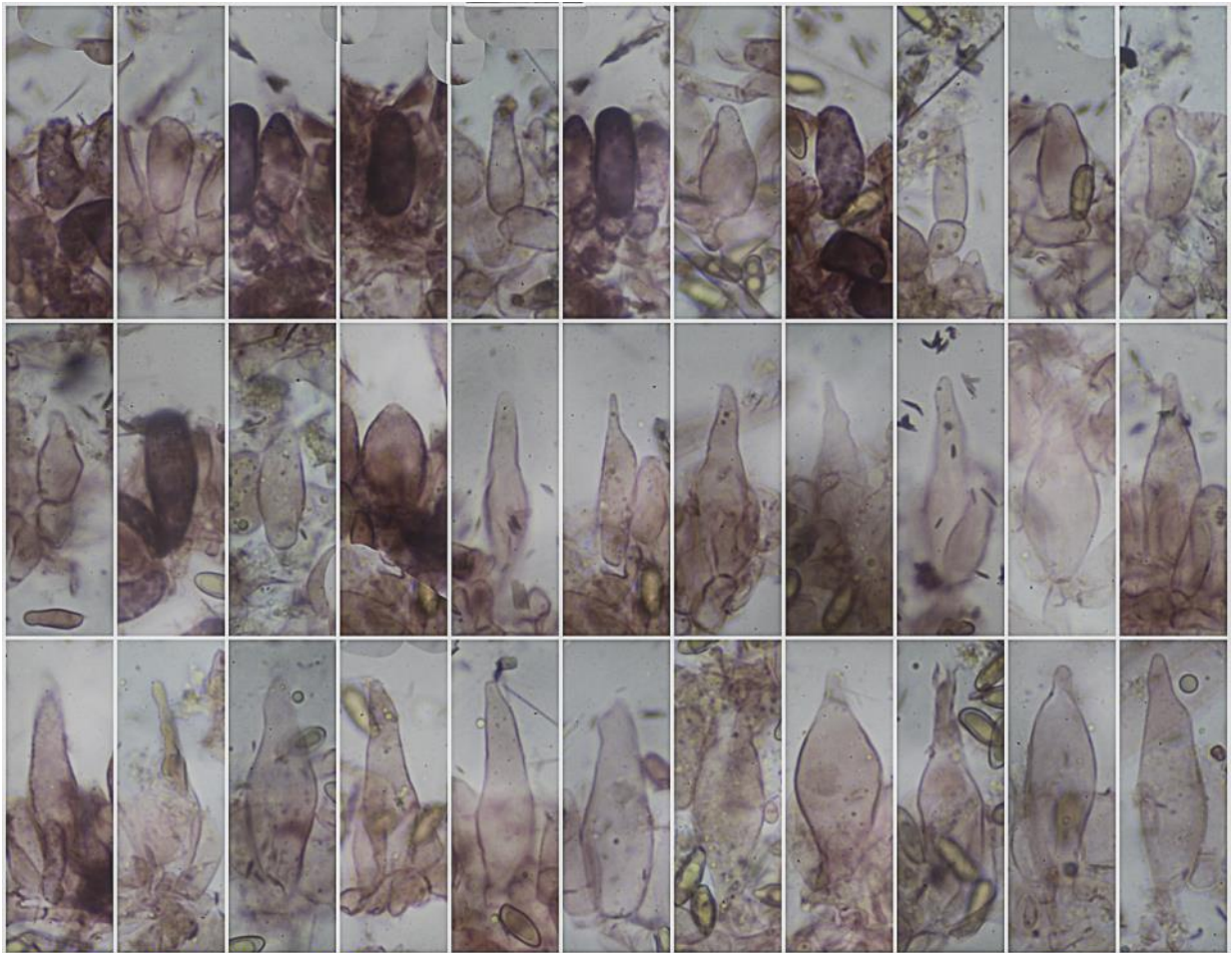
Basidios Rojo Congo SDS
 (14,9-)18,1-28,5(-29,7) × (6,8-)7,9-11,0(-11,6) μm; N = 25; Me = 23,1 × 9,5 μm 20 μm

A. Basidios.



(9,4-)10,4-13,0(-14,0) × (4,0-)4,4-5,4(-6,2) μm; Q = (1,9-)2,1-2,6(-2,8); N = 115 **Esporas Rojo Congo SDS**
 V = (80-)111-193(-270) μm³; Me = 11,7 × 4,9 μm; Qe = 2,4; Ve = 149 μm³ 20 μm

B. Esporas.

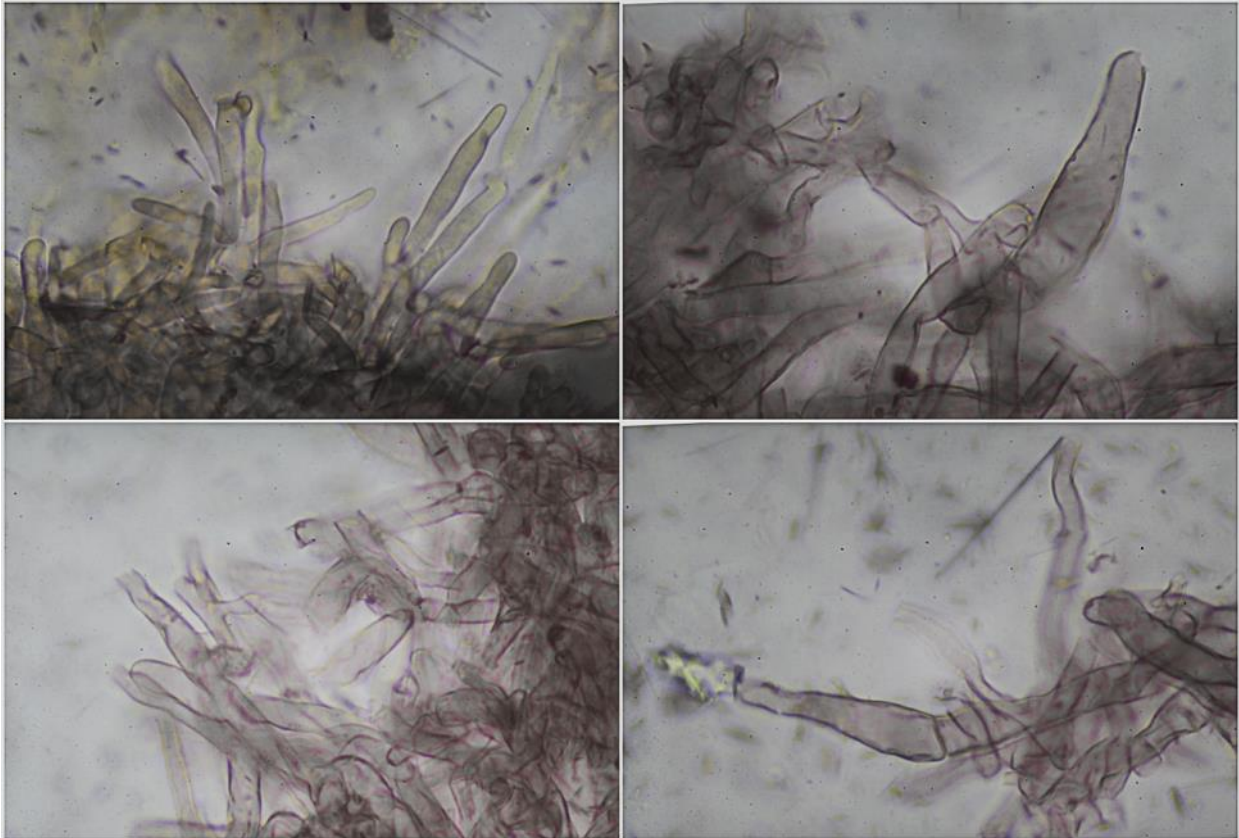


Cistidios Rojo Congo SDS

50 μ m

(17,6-)21,9-49,2(-58,9) \times (7,2-)7,8-14,8(-17,3) μ m; N = 48; Me = 35,0 \times 10,9 μ m

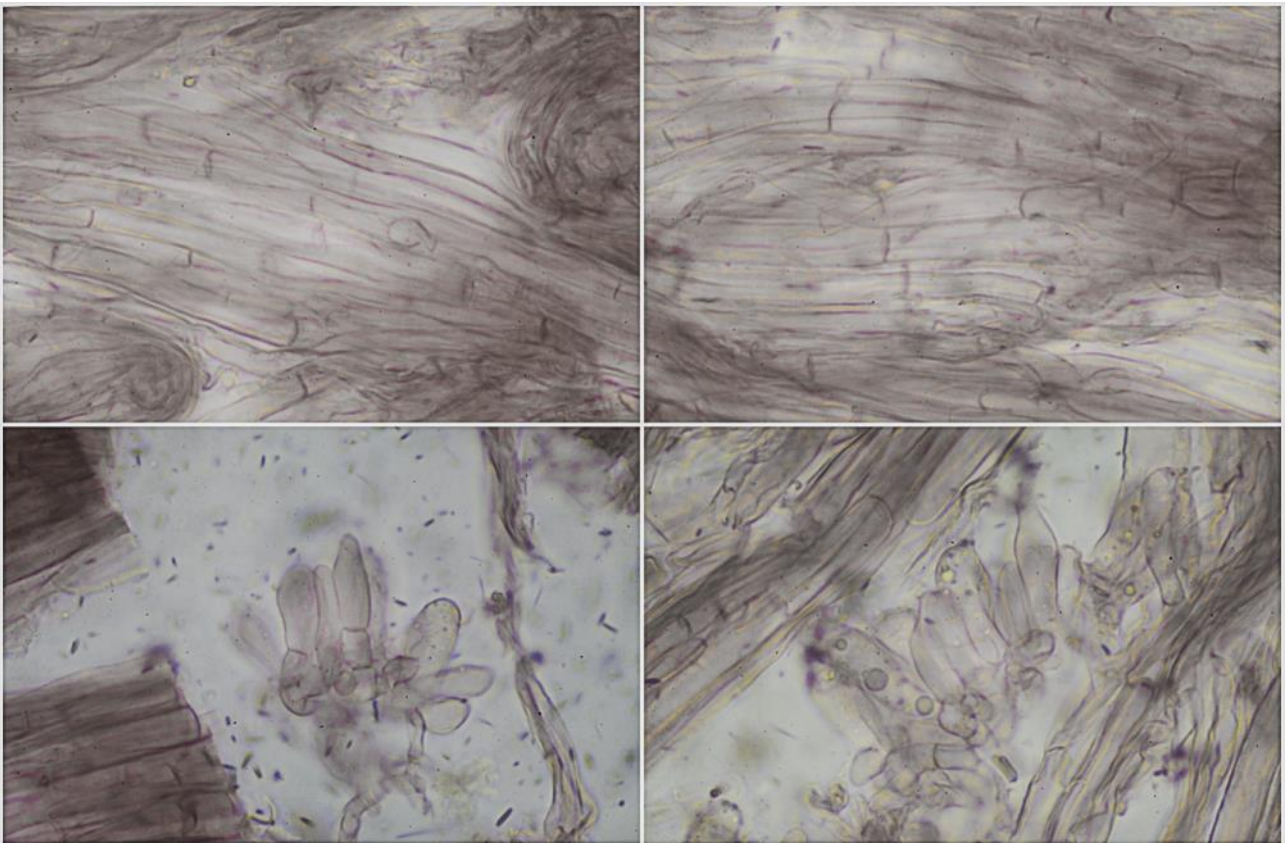
C. Cistidios.



Pileipellis Rojo Congo SDS

50 μ m

D. Pileipellis.



Estipitipellis Rojo Congo SDS

50 μ m

E. Estipitipellis.

Observaciones

Nuestra muestra es muy madura por lo que no coincide bien con los rasgos típicos de esta especie, aunque sí se aprecia bien la línea rosada que forma la carne bajo la cutícula al corte. Las medidas esporales nos salen un poco bajas, pero el Q = (1,9-)2,1-2,6(-2,8) sí se ajusta y difiere del de *Rubroboletus satanas* (Lenz) Kuan Zhao & Zhu L. Yang, de (1,9-)2,0-2,3(-2,4), que se cita para esta especie y que separa a ambas microscópicamente (MUÑOZ, 2005: 412 como *Boletus pulchrotinctus*).

Otras descripciones y fotografías

- MUÑOZ J.A.(2005) *Boletus s.l.* Fungi Europaei. Edizioni Candusso. Pág. 412 (como *Boletus pulchrotinctus*)

Salvo indicación en contrario, las fotos están realizadas por Demetrio Merino.